

# NLNMAP - seminar 1

## Prepoznavanje lica korištenjem tenzor-tenzor dekompozicija

### Tri tenzora

May 21, 2023

## 1. Cirkularne matrice i diskretna Fourierova transformacija

Neka je  $a = (a_1, \dots, a_n)^T \in \mathbb{R}^n$  vektor. Promatramo njegovu cirkularnu matricu  $\text{circ}(a)$  koju definiramo kao

$$\text{circ}(a) := \begin{bmatrix} a_1 & a_n & a_{n-1} & \cdots & a_2 \\ a_2 & a_1 & a_n & \cdots & a_3 \\ a_3 & a_2 & a_1 & \cdots & a_4 \\ \vdots & \vdots & \vdots & \ddots & \vdots \\ a_n & a_{n-1} & a_{n-2} & \cdots & a_1 \end{bmatrix}$$

odnosno,  $(\text{circ}(a))_{ij} = a_{i-j+1}$  pri čemu stavimo  $a_{i \pm n} = a_i$ . Ako je sada  $x \in \mathbb{R}^n$  i  $y = \text{circ}(a)x$ , tada je

$$y_k = \sum_{j=1}^n a_{k-j+1} x_j, \quad k = 1, \dots, n.$$

Primjetimo odmah da je  $x^{(0)} = (1, \dots, 1)^T \in \mathbb{R}^n$  svojstveni vektor od  $\text{circ}(a)$ . Zaista, za  $k = 1, \dots, n$  je

$$(\text{circ}(a)x^{(0)})_k = \sum_{j=1}^n a_{k-j+1} = \sum_{j=1}^n a_j =: \lambda_0 = \lambda_0 x_k^{(0)},$$

pa je

$$\text{circ}(a)x^{(0)} = \lambda_0 x^{(0)}.$$

Važno svojstvo cirkularnih matrica je da su im svojstveni vektori stupci IDFT matrice. Neka je

$$\omega_n = e^{-\frac{2\pi i}{n}}$$

$n$ -ti primitivni korjen jedinice. Uočimo da je

- $\omega_n^n = 1$  i  $\omega_n^k \neq 1$  za  $k = 1, \dots, n-1$ ,
- $\omega_n^{k \pm n} = \omega_n^k$  za  $k \in \mathbb{Z}$ ,
- $\overline{\omega_n} = \omega_n^{-1}$ .

Definiramo matricu

$$F_n = \frac{1}{\sqrt{n}} \begin{bmatrix} \omega_n^{0 \cdot 0} & \omega_n^{0 \cdot 1} & \dots & \omega_n^{0 \cdot (n-1)} \\ \omega_n^{1 \cdot 0} & \omega_n^{1 \cdot 1} & \dots & \omega_n^{1 \cdot (n-1)} \\ \vdots & \vdots & \ddots & \vdots \\ \omega_n^{(n-1) \cdot 0} & \omega_n^{(n-1) \cdot 1} & \dots & \omega_n^{(n-1) \cdot (n-1)} \end{bmatrix} \in \mathbb{C}^{n \times n}.$$

Matricu  $F_n$  nazivamo (normaliziranom) DFT matricom reda  $n$ , a  $F_n^* = \overline{F_n}$  (normaliziranom) IDFT matricom reda  $n$ . Neka je  $x^{(k)}$   $k$ -ti stupac od  $\overline{F_n}$ , tj.

$$x^{(k)} = \frac{1}{\sqrt{n}} (\omega_n^{-0k}, \omega_n^{-1k}, \dots, \omega_n^{-(n-1)k})^T.$$

Sada računamo

$$\begin{aligned} (\text{circ}(a)x^{(k)})_l &= \frac{1}{\sqrt{n}} \sum_{j=1}^n a_{l-j+1} \omega_n^{-(j-1)k} = \frac{\omega_n^{-(l-1)k}}{\sqrt{n}} \sum_{j=1}^n a_{l-j+1} \omega_n^{(l-j)k} \\ &= \frac{\omega_n^{-(l-1)k}}{\sqrt{n}} \sum_{j=1}^n a_{n-j+1} \omega_n^{(n-j)k} = \frac{\omega_n^{-(l-1)k}}{\sqrt{n}} \underbrace{\sum_{j=1}^n a_j \omega_n^{(j-1)k}}_{=: \lambda_k} \\ &= \lambda_k x_l^{(k)} \end{aligned}$$

pa je

$$\text{circ}(a)x^{(k)} = \lambda_k x^{(k)},$$

tj. stupci od  $\overline{F_n}$  su svojstveni vektori od  $\text{circ}(a)$ .

Nadalje, promotrimo skalarne produkte stupaca od  $\overline{F_n}$ :

$$(x^{(k)})^* x^{(l)} = \frac{1}{n} \sum_{j=0}^{n-1} \omega_n^{j(k-1)} \omega_n^{-j(l-1)} = \frac{1}{n} \sum_{j=0}^{n-1} (\omega_n^{k-l})^j = \begin{cases} 1, & k = l \\ 0, & k \neq l \end{cases}$$

jer za  $k \neq l$  je

$$\sum_{j=0}^{n-1} (\omega_n^{k-l})^j = \frac{1 - (\omega_n^{k-l})^n}{1 - \omega_n^{k-l}} = \frac{1 - 1}{1 - \omega_n^{k-l}} = 0.$$

Dakle,  $\overline{F_n}$  je unitarna matrica ( $\overline{F_n} = F_n^{-1}$ ) koja dijagonalizira  $\text{circ}(a)$ .

Iz definicije od  $\lambda_k$  slijedi da je

$$\sqrt{n} F_n a = \begin{bmatrix} \lambda_0 \\ \lambda_1 \\ \vdots \\ \lambda_{n-1} \end{bmatrix}.$$

Dakle, pokazali da je

$$\text{circ}(a) = \overline{F_n} \text{diag}(\sqrt{n} F_n a) F_n.$$

Ako je  $x \in \mathbb{R}^n$ , važno svojstvo matrice  $F_n$  je da se množenje  $F_n x$  može obaviti sa  $\mathcal{O}(n \log n)$  operacija umjesto uobičajenih  $\mathcal{O}(n^2)$ . Ovo poglavlje pokazuje da se i množenja sa cirkularnim matricama  $C_a x$  mogu obaviti sa  $\mathcal{O}(n \log n)$  operacija.

Navodimo još jedno bitno svojstvo diskretne Fourierove transformacije koja će nam biti korisna kasnije.

**Lema A.** Neka je  $v = (v_1, \dots, v_n)^T \in \mathbb{R}^n$  te  $\hat{v} = \sqrt{n}F_nv$  njegova diskretna Fourierova transformacija. Tada je

$$\hat{v}_1 \in \mathbb{R}, \quad \overline{\hat{v}_k} = \hat{v}_{n-k+2}, \quad k = \left\lceil \frac{n+1}{2} \right\rceil + 1, \dots, n.$$

Obratno, ako vektor  $\hat{v} \in \mathbb{C}^n$  zadovoljava

$$\hat{v}_1 \in \mathbb{R}, \quad \overline{\hat{v}_k} = \hat{v}_{n-k+2}, \quad k = \left\lceil \frac{n+1}{2} \right\rceil + 1, \dots, n.$$

tada je  $v = \sqrt{n}F_n\hat{v} \in \mathbb{R}^n$ .

**Dokaz.** Iz definicije je jasno da je  $\hat{v}_1 = \sum_{j=1}^n v_j \in \mathbb{R}$ . Za  $k = \left\lceil \frac{n+1}{2} \right\rceil + 1, \dots, n$  računamo

$$\overline{\hat{v}_k} = \sum_{j=1}^n \omega_n^{-(j-1)(k-1)} v_j = \sum_{j=1}^n \omega_n^{n(j-1)-(k-1)(j-1)} v_j = \sum_{j=1}^n \omega_n^{((n-k+2)-1)(j-1)} v_j = \hat{v}_{n-k+2}.$$

Obratno, ako je  $n = 2p$  paran, tada je  $\left\lceil \frac{n+1}{2} \right\rceil = p+1$ ,  $\omega_n^p = \omega_n^{-p} = -1$  i  $\overline{\hat{v}_{p+1}} = \hat{v}_{(2p-(p+1)+2)} = \hat{v}_{p+1}$ , tj  $\hat{v}_{p+1} \in \mathbb{R}$ . Računamo

$$\begin{aligned} v_k &= \sum_{j=1}^n \omega_n^{-(j-1)(k-1)} \hat{v}_j \\ &= \hat{v}_1 + \sum_{j=2}^p \omega_n^{-(j-1)(k-1)} \hat{v}_j + \omega_n^{-p(k-1)} \hat{v}_{p+1} + \sum_{j=p+2}^n \omega_n^{-(j-1)(k-1)} \hat{v}_j \\ &= \hat{v}_1 + (-1)^{k+1} \hat{v}_{p+1} + \sum_{j=2}^p \omega_n^{-(j-1)(k-1)} \hat{v}_j + \sum_{j=2}^p \omega_n^{-(n-j+2-1)(k-1)} \hat{v}_{n-j+2} \\ &= \hat{v}_1 + (-1)^{k+1} \hat{v}_{p+1} + \sum_{j=2}^p \left( \omega_n^{-(j-1)(k-1)} \hat{v}_j + \omega_n^{(j-1)(k-1)} \overline{\hat{v}_j} \right) \in \mathbb{R}. \end{aligned}$$

Ako je  $n = 2p+1$  neparan, tada je  $\left\lceil \frac{n+1}{2} \right\rceil = p+1$ . Računamo

$$\begin{aligned} v_k &= \sum_{j=1}^n \omega_n^{-(j-1)(k-1)} \hat{v}_j \\ &= \hat{v}_1 + \sum_{j=2}^{p+1} \omega_n^{-(j-1)(k-1)} \hat{v}_j + \sum_{j=p+2}^n \omega_n^{-(j-1)(k-1)} \hat{v}_j \\ &= \hat{v}_1 + \sum_{j=2}^{p+1} \left( \omega_n^{-(j-1)(k-1)} \hat{v}_j + \omega_n^{(j-1)(k-1)} \overline{\hat{v}_j} \right) \in \mathbb{R}. \end{aligned}$$

□

## 2. Matrični pojmovi u tenzorskom okviru

### 2.1. Definicije

U ovom poglavlju, cilj nam je uvesti analogone uobičajenih matričnih pojmova, ali primijenjenih na tenzore reda tri. Ako je  $\mathcal{A} \in \mathbb{R}^{l \times m \times n}$  tenzor reda tri, sa  $\mathcal{A}(k, :, :)$ ,  $\mathcal{A}(:, k, :)$ ,  $\mathcal{A}(:, :, k)$  označavamo redom  $k$ -ti horizontalni, lateralni i frontalni slice. Radi lakše notacije, uvodimo oznaku  $\mathcal{A}_{(k)} := \mathcal{A}(:, :, k)$  za  $k$ -ti frontalni slice od  $\mathcal{A}$ . Nadalje uvodimo nekoliko operatora na tenzorima.

**Definicija.** Ako je  $\mathcal{A} \in \mathbb{R}^{l \times m \times n}$ , definiramo funkcije  $\text{unfold} : \mathbb{R}^{l \times m \times n} \rightarrow \mathbb{R}^{l \cdot n \times m}$

$$\text{unfold}(\mathcal{A}) := \begin{bmatrix} \mathcal{A}_{(1)} \\ \mathcal{A}_{(2)} \\ \vdots \\ \mathcal{A}_{(n)} \end{bmatrix},$$

te  $\text{bcirc} : \mathbb{R}^{l \times m \times n} \rightarrow \mathbb{R}^{l \cdot n \times m \cdot n}$

$$\text{bcirc}(\mathcal{A}) = \begin{bmatrix} \mathcal{A}_{(1)} & \mathcal{A}_{(n)} & \cdots & \mathcal{A}_{(2)} \\ \mathcal{A}_{(2)} & \mathcal{A}_{(1)} & \cdots & \mathcal{A}_{(3)} \\ \vdots & \vdots & \ddots & \vdots \\ \mathcal{A}_{(n)} & \mathcal{A}_{(n-1)} & \cdots & \mathcal{A}_{(1)} \end{bmatrix}.$$

Definiramo i  $\text{bdiag} : \mathbb{R}^{l \times m \times n} \rightarrow \mathbb{R}^{nl \times nm}$  kao blok dijagonalnu matricu

$$\text{bdiag}(\mathcal{A}) = \begin{bmatrix} \mathcal{A}_{(1)} & & & \\ & \mathcal{A}_{(2)} & & \\ & & \ddots & \\ & & & \mathcal{A}_{(n)} \end{bmatrix}.$$

Nadalje, definiramo matričnu operaciju  $\text{fold}$  tako da je

$$\text{fold}(\text{unfold}(\mathcal{A})) = \mathcal{A}.$$

Definiramo Frobeniusovu tenzorsku normu

$$\|\mathcal{A}\|_F = \sqrt{\sum_{i,j,k} a_{ijk}^2},$$

pri čemu je  $a_{ijk} = \mathcal{A}(i, j, k)$ .

Konačno, definiramo tenzorsko množenje čiji je rezultat tenzor. Neka su  $\mathcal{A} \in \mathbb{R}^{l \times p \times n}$  i  $\mathcal{B} \in \mathbb{R}^{p \times m \times n}$ , tada definiramo

$$\mathcal{A} * \mathcal{B} := \text{fold}(\text{bcirc}(\mathcal{A}) \cdot \text{unfold}(\mathcal{B})) \in \mathbb{R}^{l \times m \times n}.$$

**Definicija.** Ako je  $\mathcal{A} \in \mathbb{R}^{l \times m \times n}$ , definiramo  $\mathcal{A}^T \in \mathbb{R}^{m \times l \times n}$  kao tenzor kojemu transponiramo sve frontalne sliceve te posložimo sliceve od drugog do posljednjeg u invertiranom poretku.

Dakle, ako je  $\mathcal{A} \in \mathbb{R}^{l \times m \times n}$ , tada se  $\mathcal{A}^T$  dobije kao:

$$\mathcal{A}^T = \text{fold} \left( \begin{bmatrix} (\mathcal{A}_{(1)})^T \\ (\mathcal{A}_{(n)})^T \\ (\mathcal{A}_{(n-1)})^T \\ \vdots \\ (\mathcal{A}_{(2)})^T \end{bmatrix} \right) \in \mathbb{R}^{l \times m \times n}$$

Jedno opravdanje za ovu definiciju je da vrijedi relacija:

$$\text{bcirc}(\mathcal{A}^T) = \text{bcirc}(\mathcal{A})^T$$

koja povezuje transponiranje tenzora i matrica.

**Definicija.** Tenzor  $\mathcal{A} \in \mathbb{R}^{l \times m \times n}$  je  $f$ -dijagonalan ako mu je svaki frontalni slice dijagonalna matrica.

**Definicija.**  $l \times l \times n$  tenzor  $\mathcal{I}_{ln}$  je jedinični tenzor ako mu je frontalni slice jedinična  $l \times l$  matrica, a ostali frontalni slicevi nul-matrice.

Primijetimo da je  $\text{bcirc}(\mathcal{I}) = I$

**Definicija.**  $l \times l \times n$  tenzor  $\mathcal{Q}$  je ortogonalan ako vrijedi

$$\mathcal{Q}^T * \mathcal{Q} = \mathcal{Q} * \mathcal{Q}^T = \mathcal{I}$$

.

## 2.2. Svojstva množenja tenzora

Neka je  $\mathcal{A} \in \mathbb{R}^{l \times m \times n}$ . Tenzor  $\hat{\mathcal{A}} \in \mathbb{C}^{l \times m \times n}$  definiramo tako da svaku nit u modu 3 tenzora  $\mathcal{A}$  zamjenimo njenom diskretnom Fourierovom transformacijom.

To možemo zapisati preko frontalnih sliceva kao

$$\hat{\mathcal{A}}_{(k)} = \sum_{j=1}^n \omega_n^{(j-1)(k-1)} \mathcal{A}_{(j)}.$$

Koristeći lemu A., možemo zaključiti da vrijedi

$$\hat{\mathcal{A}}_{(1)} \in \mathbb{R}^{l \times m}, \quad \overline{\hat{\mathcal{A}}_{(k)}} = \hat{\mathcal{A}}_{(n-k+2)}, \quad k = \left\lceil \frac{n+1}{2} \right\rceil + 1, \dots, n.$$

**Lema B.** Neka je  $\mathcal{A} \in \mathbb{R}^{l \times m \times n}$ . Ako sa  $\hat{\mathcal{A}}$  označimo Fourierovu transformaciju tenzora  $\mathcal{A}$  po trećem modu. Tada vrijedi

(i)

$$\text{unfold}(\hat{\mathcal{A}}) = (\sqrt{n}F_n \otimes I_l) \text{unfold}(\mathcal{A}),$$

(ii)

$$(F_n \otimes I_l) \text{bcirc}(\mathcal{A})(\overline{F_n} \otimes I_m) = \text{bdiag}(\hat{\mathcal{A}})$$

**Dokaz.**

(i)

$$\begin{aligned}
\text{unfold}(\hat{\mathcal{A}}) &= \begin{bmatrix} \hat{\mathcal{A}}_{(1)} \\ \hat{\mathcal{A}}_{(2)} \\ \vdots \\ \hat{\mathcal{A}}_{(n)} \end{bmatrix} \\
&= \begin{bmatrix} \sum_{j=1}^n \omega_n^{(j-1)0} \mathcal{A}_{(j)} \\ \sum_{j=1}^n \omega_n^{(j-1)1} \mathcal{A}_{(j)} \\ \vdots \\ \sum_{j=1}^n \omega_n^{(j-1)(n-1)} \mathcal{A}_{(j)} \end{bmatrix} \\
&= \begin{bmatrix} \omega_n^{00} I_l & \omega_n^{01} I_l & \dots & \omega_n^{0(n-1)} I_l \\ \omega_n^{10} I_l & \omega_n^{11} I_l & \dots & \omega_n^{1(n-1)} I_l \\ \vdots & \vdots & \ddots & \vdots \\ \omega_n^{(n-1)0} I_l & \omega_n^{(n-1)1} I_l & \dots & \omega_n^{(n-1)(n-1)} I_l \end{bmatrix} \begin{bmatrix} \mathcal{A}_{(1)} \\ \mathcal{A}_{(2)} \\ \vdots \\ \mathcal{A}_{(n)} \end{bmatrix} = (\sqrt{n} F_n \otimes I_l) \text{unfold}(\mathcal{A}).
\end{aligned}$$

(ii) Zapišimo lijevu stranu u blok trokutastom formatu.

$$(F_n \otimes I_l) \text{bcirc}(\mathcal{A})(\overline{F}_n \otimes I_m) = \begin{bmatrix} K_{11} & K_{12} & \dots & K_{1n} \\ K_{21} & K_{22} & \dots & K_{2n} \\ \vdots & \vdots & \ddots & \vdots \\ K_{n1} & K_{n2} & \dots & K_{nn} \end{bmatrix}$$

pri čemu su matrice  $K_{ij} \in \mathbb{R}^{l \times m}$ . Ako stavimo  $\mathcal{A}_{(n \pm i)} = \mathcal{A}_{(i)}$ , tada se koristeći isti rastav kao ranije, blok  $K_{ij}$  može zapisati kao

$$\begin{aligned}
K_{ij} &= \frac{1}{n} \sum_{k_2=1}^n \sum_{k_1=1}^n \omega_n^{(i-1)(k_1-1)} \omega_n^{-(j-1)(k_2-1)} \mathcal{A}_{(k_1-k_2+1)} \\
&= \frac{1}{n} \sum_{k_2=1}^n \sum_{k_1=1}^n \omega_n^{(i-1)(k_1-1) - (i-1)(k_2-1) + (i-1)(k_2-1) - (j-1)(k_2-1)} \mathcal{A}_{(k_1-k_2+1)} \\
&= \frac{1}{n} \sum_{k_2=1}^n \sum_{k_1=1}^n \omega_n^{(i-1)(k_1-k_2) + (i-j)(k_2-1)} \mathcal{A}_{(k_1-k_2+1)} \\
&= \frac{1}{n} \sum_{k_2=1}^n \omega_n^{(i-j)(k_2-1)} \sum_{k_1=1}^n \omega_n^{(i-1)(k_1-k_2)} \mathcal{A}_{(k_1-k_2+1)} \\
&= \frac{1}{n} \sum_{k_2=1}^n \omega_n^{(i-j)(k_2-1)} \sum_{k_1=1}^n \omega_n^{(i-1)(k_1-1)} \mathcal{A}_{(k_1)} \\
&= \delta_{ij} \hat{\mathcal{A}}_{(i)}
\end{aligned}$$

□

**Lema C.** Neka su  $\mathcal{A} \in \mathbb{R}^{l \times p \times n}$ ,  $\mathcal{B} \in \mathbb{R}^{p \times m \times n}$  i  $\mathcal{C} \in \mathbb{R}^{l \times m \times n}$  ulančani tenzori, tada vrijedi niz ekvivalencija

$$\begin{aligned} \mathcal{C} = \mathcal{A} * \mathcal{B} &\iff \text{unfold}(\mathcal{C}) = \text{bcirc}(\mathcal{A})\text{unfold}(\mathcal{B}) \\ &\iff \text{unfold}(\hat{\mathcal{C}}) = \text{bdiag}(\hat{\mathcal{A}})\text{unfold}(\hat{\mathcal{B}}) \\ &\iff \text{bdiag}(\hat{\mathcal{C}}) = \text{bdiag}(\hat{\mathcal{A}})\text{bdiag}(\hat{\mathcal{B}}) \\ &\iff \text{bcirc}(\mathcal{C}) = \text{bcirc}(\mathcal{A})\text{bcirc}(\mathcal{B}). \end{aligned}$$

**Dokaz.** Prva ekvivalencija slijedi iz definicije tenzora primjenom operacija `fold` i `unfold`.

$$\begin{aligned} \text{unfold}(\mathcal{C}) &= \text{bcirc}(\mathcal{A})\text{unfold}(\mathcal{B}) \\ &\iff (\sqrt{n}\bar{F}_n \otimes I_l)\text{unfold}(\hat{\mathcal{C}}) = (\bar{F}_n \otimes I_l)\text{bdiag}(\hat{\mathcal{A}})(F_n \otimes I_p)(\sqrt{n}\bar{F}_n \otimes I_p)\text{unfold}(\hat{\mathcal{B}}) \\ &\iff \text{unfold}(\hat{\mathcal{C}}) = \text{bdiag}(\hat{\mathcal{A}})\text{unfold}(\hat{\mathcal{B}}) \\ &\iff \text{bdiag}(\hat{\mathcal{C}}) = \text{bdiag}(\hat{\mathcal{A}})\text{bdiag}(\hat{\mathcal{B}}) \\ &\iff (F_n \otimes I_l)\text{bcirc}(\mathcal{C})(\bar{F}_n \otimes I_m) = (F_n \otimes I_l)\text{bcirc}(\mathcal{A})(\bar{F}_n \otimes I_p)(F_n \otimes I_p)\text{bcirc}(\mathcal{B})(\bar{F}_n \otimes I_m) \\ &\iff \text{bcirc}(\mathcal{C}) = \text{bcirc}(\mathcal{A})\text{bcirc}(\mathcal{B}) \end{aligned}$$

□

Druga ekvivalencija nam daje efikasan način kako računati produkt tenzora.

$$\mathcal{A} * \mathcal{B} = \text{fold}\left((\sqrt{n}\bar{F}_n \otimes I_l)\text{bdiag}(\hat{\mathcal{A}})\text{unfold}(\hat{\mathcal{B}})\right) = \text{fold}\left((\sqrt{n}\bar{F}_n \otimes I_l) \begin{bmatrix} \hat{\mathcal{A}}_{(1)}\hat{\mathcal{B}}_{(1)} \\ \vdots \\ \hat{\mathcal{A}}_{(n)}\hat{\mathcal{B}}_{(n)} \end{bmatrix}\right).$$

Dakle, algoritam za tenzorsko množenje je:

---

**Algorithm 1** Algoritam za tenzorsko množenje

---

- 1: **Inputs:**  $\mathcal{A} \in \mathbb{R}^{l \times p \times n}$ ,  $\mathcal{B} \in \mathbb{R}^{p \times m \times n}$ .
  - 2: **Output:**  $\mathcal{C} = \mathcal{A} * \mathcal{B}$ .
  - 3:  $\hat{\mathcal{A}} = \text{fft}(\mathcal{A}, [], 3)$
  - 4:  $\hat{\mathcal{B}} = \text{fft}(\mathcal{B}, [], 3)$
  - 5: **for**  $i = 1$  **to**  $n$  **do**
  - 6:    $\hat{\mathcal{C}}(:, :, i) = \hat{\mathcal{A}}(:, :, i)\hat{\mathcal{B}}(:, :, i)$
  - 7: **end for**
  - 8:  $\mathcal{C} = \text{ifft}(\hat{\mathcal{C}}, [], 3)$
- 

Iz Leme A., za  $i = \lceil \frac{n+1}{2} \rceil + 1, \dots, n$  slijedi da je

$$\hat{\mathcal{C}}_{(i)} = \overline{\hat{\mathcal{C}}_{(n-i+2)}}$$

pa možemo uštedjeti još gotovo pola matričnih množenja. Kada bismo množenje vršili po definiciji, imali bismo  $\mathcal{O}(lpmn^2)$  operacija. Korištenjem brze Fourierove transformacije, kompleksnost ovog algoritma je  $\mathcal{O}(lpmn + (lp + pm)n\log(n)) \approx \mathcal{O}(lpmn)$  jer je u našem slučaju često  $\log(n) \ll l, m$ . DFT će nam se javljati i kasnije za efikasno računanje dekompozicija tenzora.

Iz ekvivalencije

$$\mathcal{C} = \mathcal{A} * \mathcal{B} \iff \text{bcirc}(\mathcal{C}) = \text{bcirc}(\mathcal{A})\text{bcirc}(\mathcal{B})$$

i asocijativnosti množenja matrica, odmah slijedi da je množenje tenzora isto asocijativno.

Nadalje, primijetimo da je  $\mathcal{Q}$  ortogonalan tenzor ako i samo kao je  $\text{bcirc}(\mathcal{Q})$  ortogonalna matrica. Zaista

$$\begin{aligned} \mathcal{Q}^T * \mathcal{Q} = \mathcal{Q} * \mathcal{Q}^T = \mathcal{I} &\iff \text{bcirc}(\mathcal{Q}^T * \mathcal{Q}) = \text{bcirc}(\mathcal{Q} * \mathcal{Q}^T) = \text{bcirc}(\mathcal{I}) \\ &\iff \text{bcirc}(\mathcal{Q})^T \text{bcirc}(\mathcal{Q}) = \text{bcirc}(\mathcal{Q})\text{bcirc}(\mathcal{Q})^T = I. \end{aligned}$$

### 3. Važni teoremi

**Teorem.** Neka je  $\mathcal{A} \in \mathbb{R}^{l \times m \times n}$ . Tada se  $\mathcal{A}$  može faktorizirati kao:

$$\mathcal{A} = \mathcal{U} * \mathcal{S} * \mathcal{V}^T,$$

pri čemu je  $\mathcal{U} \in \mathbb{R}^{l \times l \times n}$  ortogonalan,  $\mathcal{V} \in \mathbb{R}^{m \times m \times n}$  ortogonalan, i  $\mathcal{S} \in \mathbb{R}^{l \times m \times n}$   $f$ -dijagonalan tenzor.

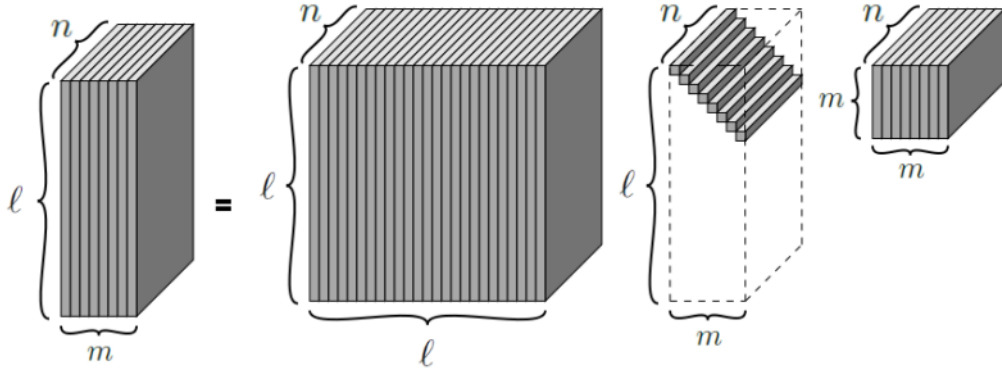


Figure 1: SVD dekompozicija tenzora

**Dokaz.** Iz leme B., znamo da je

$$(F_n \otimes I_l) \text{bcirc}(\mathcal{A}) (F_n^* \otimes I_m) = \text{bdiag}(\hat{\mathcal{A}}).$$

Po lemi A.,  $\hat{\mathcal{A}}_{(1)} \in \mathbb{R}^{l \times m}$ , pa postoji njena realna SVD dekompozicija  $\hat{\mathcal{A}}_{(1)} = \hat{\mathcal{U}}_{(1)} \hat{\mathcal{S}}_{(1)} \hat{\mathcal{V}}_{(1)}^T$ . Za  $k = 2, \dots, \lceil \frac{n+1}{2} \rceil$  izračunamo (kompleksnu!) SVD dekompoziciju slicea  $\hat{\mathcal{A}}_{(k)} = \hat{\mathcal{U}}_{(k)} \hat{\mathcal{S}}_{(k)} \hat{\mathcal{V}}_{(k)}^*$ . Za  $k = \lceil \frac{n+1}{2} \rceil + 1, \dots, n$  stavimo da je

$$\hat{\mathcal{U}}_{(k)} = \overline{\hat{\mathcal{U}}_{(n-k+2)}}, \quad \hat{\mathcal{S}}_{(k)} = \overline{\hat{\mathcal{S}}_{(n-k+2)}}, \quad \hat{\mathcal{V}}_{(k)} = \overline{\hat{\mathcal{V}}_{(n-k+2)}}.$$

Po lemi A., za  $k = \lceil \frac{n+1}{2} \rceil + 1, \dots, n$  vrijedi:

$$\hat{\mathcal{A}}_{(k)} = \overline{\hat{\mathcal{A}}_{(n-k+2)}} = \overline{\hat{\mathcal{U}}_{(n-k+2)} \hat{\mathcal{S}}_{(n-k+2)} \hat{\mathcal{V}}_{(n-k+2)}^*} = \hat{\mathcal{U}}_{(k)} \hat{\mathcal{S}}_{(k)} \hat{\mathcal{V}}_{(k)}^*.$$



Tenzore  $\hat{\mathcal{U}}$ ,  $\hat{\mathcal{S}}$  i  $\hat{\mathcal{V}}$  definiramo tako da su im  $k$ -ti frontalni slicevi redom  $\hat{\mathcal{U}}_{(k)}$ ,  $\hat{\mathcal{S}}_{(k)}$ ,  $\hat{\mathcal{V}}_{(k)}$ ,  $k = 1, \dots, n$ , a tenzore  $\mathcal{U}$ ,  $\mathcal{S}$  i  $\mathcal{V}$  kao njihove inverzne Fourierove transformacije po trećem modu. Po obratu leme A., slijedi da su  $\mathcal{U}$ ,  $\mathcal{S}$  i  $\mathcal{V}$  realni tenzori. Iz gornjih relacija slijedi

$$\text{bdiag}(\hat{\mathcal{A}}) = \text{bdiag}(\hat{\mathcal{U}})\text{bdiag}(\hat{\mathcal{S}})\text{bdiag}(\hat{\mathcal{V}}^*)$$

Množenjem s odgovarajućim  $(F_n \otimes I)$  i  $(\bar{F}_n \otimes I)$  dobivamo

$$\text{bcirc}(\mathcal{A}) = \text{bcirc}(\mathcal{U})\text{bcirc}(\mathcal{S})\text{bcirc}(\mathcal{V}^T)$$

što smo već pokazali da je ekvivalentno  $\mathcal{A} = \mathcal{U} * \mathcal{S} * \mathcal{V}^T$ .  $\hat{\mathcal{S}}$  je  $f$ -dijagonalni tenzor, a  $k$ -ti frontalni slice od  $\mathcal{S}$  vrijedi

$$\mathcal{S}_{(k)} = \sum_{j=1}^n \omega_n^{-(j-1)(k-1)} \hat{\mathcal{S}}_{(j)}$$

pa je  $\mathcal{S}_{(k)}$  dijagonalna matrica, odnosno  $\mathcal{S}$  je  $f$ -dijagonalni tenzor. Nadalje,  $\text{bdiag}(\hat{\mathcal{U}})$  je unitarna matrica te

$$\text{bcirc}(\mathcal{U}) = (\bar{F}_n \otimes I_l) \text{bdiag}(\hat{\mathcal{U}}) (F_n \otimes I_l),$$

pa je i  $\text{bcirc}(\mathcal{U})$  unitarna matrica koja je realna, pa je ortogonalna. Analogno vrijedi za  $\mathcal{V}$ .  $\square$

O SVD dekompoziciji matrica znamo i puno više - jedna od tvrdnji je i o najboljoj aproksimaciji matrice onom nižeg ranga. Uz naš tenzorski produkt i prethodni teorem, vrijedi analogon:

**Teorem.** Neka je T-SVD dekompozicija tenzora  $\mathcal{A} \in \mathbb{R}^{l \times m \times n}$  dana s  $\mathcal{A} = \mathcal{U} * \mathcal{S} * \mathcal{V}^T$ . Nadalje, za  $k < \min\{l, m\}$  definirajmo:

$$\mathcal{A}_k = \sum_{i=1}^k \mathcal{U}(:, i, :) * \mathcal{S}(i, i, :) * \mathcal{V}(:, i, :)^T$$

Tada je

$$\mathcal{A}_k = \underset{\tilde{\mathcal{A}} \in M}{\text{argmin}} \|\mathcal{A} - \tilde{\mathcal{A}}\|_{\mathcal{F}},$$

pri čemu je

$$M = \{\mathcal{C} = \mathcal{X} * \mathcal{Y} \mid \mathcal{X} \in \mathbb{R}^{l \times k \times n}, \mathcal{Y} \in \mathbb{R}^{k \times m \times n}\}.$$

**Napomena.** Ako slijedimo dokaz teorema o T-SVD dekompoziciji, pri čemu svaku SVD dekompoziciju frontalnih sliceva zamjenimo QR dekompozicijom

$$\hat{\mathcal{A}}_{(k)} = \hat{\mathcal{Q}}_{(k)} \hat{\mathcal{R}}_{(k)}, \quad k = 1, \dots, \left\lceil \frac{n+1}{2} \right\rceil,$$

dobivamo rastav  $\mathcal{A} = \mathcal{Q} * \mathcal{R}$  pri čemu su  $\mathcal{Q}$  i  $\mathcal{R}$  realni tenzori takvi da je  $\mathcal{Q}$  ortogonalan tenzor, a  $\mathcal{R}$  f-gornjetrokutasti tenzor (tenzor kojemu je svaki frontalni slice gornjetrokutasta matrica).

## 4. Primjene u prepoznavanju lica

### 4.1. Algoritmi

Primjena je motivirana tradicionalnom analizom glavnih komponenti matrice (PCA). Algoritam radi sljedeće:

---

**Algorithm 2** Matrični PCA

---

```
1: Inputs: Trening slike  $\mathbf{I}_i, i = 1, \dots, N$ , Testna slika  $\mathbf{J}$ , Indeks rezanja  $k$ 
2: Output: Najbliža klasa (po nekoj mjeri) testnoj slici
3:  $L(:, i) = \text{vektORIZIRAJ}(\mathbf{I}_i)$ 
4:  $\mathbf{A} = \text{kovarijacija}(L)$ 
5:  $U = \text{lijevi singularni vektori od } \mathbf{A}$ 
6:  $\mathbf{G} = U(:, 1 : k)^T \mathbf{A}$ 
7:  $\mathbf{t} = \text{vektORIZIRAJ}(\mathbf{J})$ 
8:  $\mathbf{c} = U(:, 1 : k)^T \mathbf{t}$ 
9: for  $i = 1$  to  $N$  do
10:   Izračunaj udaljenost  $\|\mathbf{c} - \mathbf{G}(:, i)\|_F$ 
11: end for
12: Vрати indeks na kojem se izračunata udaljenost minimizira
```

---

Ideja je da primijenimo analognu metodu u našem slučaju kada su objekti koje promatramo tenzori. Naravno, možemo primijeniti analognu metodu i tražiti testnoj slici najsličniju u trening datasetu, ali time ne iskorištavamo činjenicu da za istu osobu imamo slike potencijalno različitih izraza lica, osvjetljenja, kutova slikanja i slično. Dakle, prikaz osoba kao tenzora je vrlo prirodan pristup problemu.

U tu svrhu, imamo 2 osnovna pristupa. Jer poznajemo nekoliko dekompozicija tenzora, razumno je da različite pristupe možemo koristiti u algoritmu te procijeniti koji nam je u danoj situaciji najpogodniji.

Prvi pristup, koji smo obradili na predavanjima, je pomoću množenja tenzora matricom u pojedinom modu, te njemu srodna dekompozicija tenzora je HOSVD. On se zasniva na rastavu tenzora  $\mathcal{T}$  kao:

$$\mathcal{T} = \mathcal{S} \times_1 U_1 \times_2 U_2 \times_3 U_3,$$

gdje su  $U_i, i = 1, 2, 3$  ortogonalne matrice odgovarajućeg tipa, a  $\mathcal{S}$  potpuno ortogonalan (različiti slicevi istog tipa okomiti uz Frobenijusov skalarni produkt) tenzor istog tipa kao i  $\mathcal{T}$ .

Pripadni algoritam za prepoznavanje lica je dakle:

---

**Algorithm 3** HOSVD metoda

---

```
1: Inputs: Trening slike  $\mathbf{I}_{i,j}, i = 1, \dots, N, j = 1, \dots, M$ , Testna slika  $\mathbf{J}$ 
2: Output: Najbliža klasa (po nekoj mjeri) testnoj slici
3:  $L(:, :, i) = \text{vektoriziraj}(\mathbf{I}_i)$ 
4: HOSVD  $\mathcal{L} = \mathcal{S} \times_1 U_1 \times_2 U_2 \times_3 U_3$ 
5:  $\mathcal{B} = \mathcal{S} \times_2 U_2 \times_3 U_3$ 
6:  $\mathcal{T} = \text{vektoriziraj}(\mathbf{J})$ 
7: for  $e = 1$  to  $N_e$  do
8:    $\mathbf{C}_e = \mathcal{C}(:, e, :)$ 
9:    $\mathbf{x}_e = \mathbf{C}_e \mathcal{T}$ 
10:  for  $p = 1$  to  $N_p$  do
11:    Izračunaj udaljenost  $\|c - U_1(:, p)\|_F$ 
12:  end for
13: end for
14: Vрати индекс на којем се израчуната udaljenost minimizira
```

---

Drugi algoritam se zasniva na našem produktu tenzora i njegovoj SVD dekompoziciji. Algoritam je sljedeći:

---

**Algorithm 4** Tenzorski SVD algoritam

---

```
1: Inputs: Trening slike  $\mathbf{I}_i, i = 1, \dots, N$ , Testna slika  $\mathbf{J}$ 
2: Output: Najbliža klasa (po nekoj mjeri) testnoj slici
3: for  $i = 1$  to  $N$  do
4:    $L(:, :, i) = \text{vektoriziraj}(\mathbf{I}_i)$ 
5: end for
6:  $\mathcal{M} = \text{mean}(\mathbf{I})$ 
7:  $\mathcal{A} = \text{kovarijacija}(L)$ 
8:  $\mathcal{U} = \text{lijevi singularni tenzor od } \mathcal{A}$ 
9:  $\mathcal{C} = \mathcal{U}(:, 1 : k, :)^T * \mathcal{A}$ 
10:  $\mathcal{T} = \text{twst}(\mathbf{J} - \mathcal{M})$ 
11:  $\mathcal{B} = \mathcal{U}(:, 1 : k, :)^T * \mathcal{T}$ 
12: for  $i = 1$  to  $N$  do
13:   Izračunaj udaljenost  $\|\mathcal{B} - \mathbf{C}(:, j)\|_F$ 
14: end for
15: Vрати индекс на којем се израчуната udaljenost minimizira
```

---

Slično, umjesto tenzora  $\mathcal{U}$  iz T-SVD-a, možemo koristiti  $\mathcal{Q}$  iz T-QR faktorizacije:

---

**Algorithm 5** Tenzorski QR algoritam

---

```

1: Inputs: Trening slike  $\mathbf{I}_i, i = 1, \dots, N$ , Testna slika  $\mathbf{J}$ 
2: Output: Najbliža klasa (po nekoj mjeri) testnoj slici
3: for  $i = 1$  to  $N$  do
4:    $L(:, :, i) = \text{vektoriziraj}(\mathbf{I}_i)$ 
5: end for
6:  $\mathcal{M} = \text{mean}(\mathbf{I})$ 
7:  $\mathcal{A} = \text{kovarijacija}(L)$ 
8:  $\mathcal{Q} = \text{ortogonalni tenzor iz T-QR faktorizacije}$ 
9:  $\mathcal{C} = \mathcal{Q}(:, 1 : k, :)^T * \mathcal{A}$ 
10:  $\mathcal{T} = \text{twst}(\mathbf{J} - \mathcal{M})$ 
11:  $\mathcal{B} = \mathcal{Q}(:, 1 : k, :)^T * \mathcal{T}$ 
12: for  $i = 1$  to  $N$  do
13:   Izračunaj udaljenost  $\|\mathcal{B} - \mathcal{C}(:, i)\|_F$ 
14: end for
15: Vрати indeks na kojem se izračunata udaljenost minimizira

```

---

## 4.2. Podaci

Koristili smo 3 različita skupa podataka. Prva dva su iz Yaleove baze podataka o licima. Jedan skup podataka se sastoji od slika veličine 32x32, dok drugi 64x64 piksela. Ukupno smo koristili 165 slika (15 različitih osoba i 11 različitih ekspresija).



Figure 2: YALE 32x32 faces



Figure 3: YALE 64x64 faces

Zadnji skup podataka je iz ORL baze podataka o licima. Slike su veličine 64x64 piksela i ukupno imamo 400 slika (40 različitih osoba i 10 različitih ekspresija).



Figure 4: ORL 64x64 faces

### 4.3. Rezultati

Metoda kojom smo testirali efikasnost algoritama je ta da smo iz dataseta u kojemu su dane slike osoba s različitim izrazima lica (ali za svaku osobu jednak broj izraza lica) je taj da smo za svaku ekspresiju izbacili sve pripadne slike iz dataseta te za svaku izbačenu sliku tražili u preostalim slikama iz dataseta njoj najbližnju pa ispitivali je li ispravno klasificirana.

Rezultati koje smo opazili su:

- Yale (32x32)
  - HOSVD - 120/165 (73 %)
  - TSVD - 114/165 (69 %)
  - PCA - 108/165 (65 %)
  - TQR - 113/165 (68 %)
- Yale (64x64)
  - HOSVD - 132/165 (80 %)
  - TSVD - 120/165 (73 %)
  - PCA - 115/165 (70 %)
  - TQR - 117/165 (71 %)
- ORL (64x64)
  - HOSVD - 368/400 (92 %)
  - TSVD - 347/400 (87 %)
  - PCA - 341/400 (85 %)
  - TQR - 346/400 (87 %)

Druga metoda s kojom smo testirali efikasnost algoritma je izbacivanje slika jednu po jednu, te ih potom klasificiramo na ostatku skupa podataka. Ova metoda je pogodna za sve algoritme osim HOSVD-a. Također, Za sve metode navodimo točnost i najmanji pripadni indeks rezanja  $k$  za koji se pripadna točnost postiže.

Rezultati koje smo opazili su:

- Yale (32x32)
  - PCA - 107/165 (64.8 %),  $k = 17$

- TQR - 109/165 (66.0 %),  $k = 16$
  - TSVD - 110/165 (66.6 %),  $k = 8$
- Yale (64x64)
  - PCA - 121/165 (73.3 %),  $k = 49$
  - TQR - 123/165 (74.5 %),  $k = 31$
  - TSVD - 122/165 (73.9 %),  $k = 16$
- ORL (64x64)
  - PCA - 373/400 (93.2 %),  $k = 35$
  - TQR - 380/400 (95.0 %),  $k = 20$
  - TSVD - 381/400 (95.3 %),  $k = 14$

## Literatura

- [1] K. Braman, R. C. Hoover: *Facial Recognition Using Tensor-Tensor Decompositions*. SIAM, 2013.
- [2] Z. Drmač: *Napredne linearne i nelinearne numeričke metode u analizi podataka*. PMF-MO Zagreb, 2023.
- [3] C. Lu, J. Feng, Y. Chen, W. Liu: *Tensor Robust Principal Component Analysis with A New Tensor Nuclear Norm*. IEEE Transactions on pattern analysis and machine intelligence, 2019.
- [4] G. Strang *Circular-Matrices*. MIT linear algebra lecture notes, 2017.